

· 实验研究 ·

## 严重惊厥发作过程中核因子-κB 活化与神经元凋亡的关系

刘月影,袁宝强

(徐州医学院附属医院儿科 江苏 徐州 221002)

**[摘要]** 目的 探讨戊四氮(PTZ)所致大鼠严重惊厥发作模型中核因子-κB(NF-κB)活化与神经细胞凋亡的关系。方法 42只大鼠随机分为7组,即对照组、致惊后3 h、6 h、12 h、24 h、48 h和吡咯啉烷二硫代氨基甲酸盐(PDTC)+PTZ组。免疫组织化学法检测海马CA1区NF-κB亚基p65核移位;TUNEL和流式细胞仪检测海马细胞凋亡。结果 流式细胞仪和TUNEL法显示惊厥发作后有细胞凋亡的发生,24 h达高峰,与对照组相比分别为( $12.54 \pm 4.99\%$ ) vs ( $2.24 \pm 0.57\%$ ) 和 ( $61.62 \pm 4.99$ )个/gcs vs ( $3.35 \pm 0.89$ )个/gcs,  $P$ 均 $<0.001$ ;对照组大鼠海马未见p65核移位细胞,而致惊后p65核移位细胞显著上调,24 h达高峰( $32.30 \pm 4.71$ )个/gcs。PDTC预处理组与致惊24 h组相比p65核移位及细胞凋亡明显减少。结论 NF-κB活化在严重惊厥发作所致的细胞凋亡发生中发挥重要作用;PDTC可通过抑制NF-κB的表达而减少惊厥后的细胞凋亡。**[中国当代儿科杂志,2005,7(3):253-256]**

**[关键词]** 惊厥;核因子-κB p65;凋亡;大鼠

**[中图分类号]** R-33    **[文献标识码]** A    **[文章编号]** 1008-8830(2005)03-0253-04

### Relationship between nuclear factor-kappaB activation and neuronal apoptosis in rats with pentylenetetrazol-induced serious seizures

Yue-Ying LIU, Bao-Qiang YUAN. Department of Pediatrics, Affiliated Hospital, Xuzhou Medical College, Xuzhou, Jiangsu 221002, China (Yuan B-Q, Email: yuanbaqiang@163.com)

**Abstract: Objective** The effects of nuclear factor-kappaB (NF-κB) on neurons in the brain remain controversial. This study examined the relationship between NF-κB activation and neuronal apoptosis in rats with pentylenetetrazol (PTZ)-induced serious seizures. **Methods** Forty-two rats were randomly assigned into a Seizure group, a pyrrolidine dithiocarbamate (PDTC)-pretreatment seizure group and a Normal control group. The model of serious seizures was induced by an intraperitoneal injection of PTZ (60 mg/kg). Rats in the Seizure group were sacrificed 3, 6, 12, 24, and 48 hrs after seizure induction. The PDTC pretreatment group was administered with PDTC (100 mg/kg) 1 hr before PTZ injection, and sacrificed 24 hrs later. The immunohistochemistry method was used to detect the activity of NF-κB protein in the CA1 region of the hippocampus. The in situ dUTP end-labeling (TUNEL) technique and flow cytometry (FCM) were used to measure the neuronal apoptosis in the hippocampus. **Results** Significant neuronal apoptosis was observed in the Seizure group and peaked at 24 hrs, with an apoptosis rate of  $12.54\% \pm 4.99\%$ , compared with ( $2.24\% \pm 0.57\%$ ) in the Normal control group ( $P < 0.001$ ). The activity of NF-κB was detected at 6 hrs following seizure induction, and increased to maximal expression at 24 hrs ( $32.30 \pm 4.71/\text{gcs}$ ) in the Seizure group. NF-κB activation was not found in the Normal control group. The PDTC pretreatment group showed a lower neuronal apoptosis rate and less NF-κB activity than the Seizure group. **Conclusions** The activation of NF-κB may play important roles in the process of neuronal apoptosis following serious seizures. PDTC pretreatment could reduce the neuronal apoptosis, perhaps by inhibiting the expression of NF-κB.

**[Chin J Contemp Pediatr, 2005, 7(3): 253-256]**

**Key words:** Seizures; NF-kappa B p65; Apoptosis; Rats

癫痫是小儿神经系统疾病中最常见的一种发作性疾病。大量研究已证实,癫痫引起的神经元死亡包括凋亡和坏死两种形式,由于凋亡是一个可调控的过程,故通过抑制凋亡的发生,可能减少神经细胞的死亡。在中枢神经系统中,核因子κB(nuclear factorκB, NF-κB)作为一种重要的信号转导因子,可

通过其P65/P50异源二聚体的活化形式进入胞核与DNA上相应靶基因位点结合对细胞内外界刺激作出快速反应。早期研究结果显示NF-κB具有脑保护作用<sup>[1]</sup>,但近年的研究指出NF-κB在缺氧缺血性脑病等疾病中也具有促进细胞凋亡的作用<sup>[2,3]</sup>,但在惊厥发生过程中的作用以及与细胞凋亡的关系

[收稿日期] 2004-10-20; [修回日期] 2005-01-10

[作者简介] 刘月影(1975-),女,硕士,经治医师。主攻方向:小儿神经系统疾病。

[通讯作者] 袁宝强,江苏徐州医学院附属医院儿科,邮编221002。

报道较少。本研究运用戊四氮(pentylenetetrazol, PTZ)致大鼠惊厥模型探讨严重惊厥发作对脑神经细胞损伤的影响,同时探讨NF- $\kappa$ B在惊厥发生过程中与细胞凋亡的关系。

## 1 材料与方法

### 1.1 实验动物与分组

雄性SD大鼠42只,鼠龄约2.5月,由徐州医学院实验动物中心提供。随机分为对照组、致惊后3 h,6 h,12 h,24 h,48 h组和治疗组即吡咯啉烷二硫代氨基甲酸盐(pyrrolidine dithiocarbamate, PDTC)+PTZ组,每组6只。

### 1.2 主要试剂

PTZ(溶于生理盐水配成10 g/L),碘化丙啶(propidium iodide, PI),PDTC(Sigma),NF- $\kappa$ Bp65多抗(SantaCruz)、即用型SP免疫组化试剂盒、DAB显色试剂盒(北京中山)、原位凋亡试剂盒(北京华美)。其他生化试剂为国产分析纯。

### 1.3 动物惊厥模型制备

大鼠腹腔注射PTZ(60 mg/kg),参照Ono(0~6)评定发作标准<sup>[4]</sup>。0级:无任何发作;I级:点头或湿狗样抖动;II级:肌肉颤动;III级:前肢局限性阵挛;IV级:后肢站立;V级:站立并摔倒;VI级:全身强直-阵挛性发作。选择出现V级以上发作者作为惊厥研究模型。对照组用等容生理盐水代替PTZ注射。治疗组先腹腔注射PDTC(100 mg/kg)1 h后再注射PTZ,24 h后断头取脑。

### 1.4 标本采集

所有实验动物于规定的时间点腹腔注射0.4%的戊巴比妥(40 mg/kg)麻醉后立即断头,冰上取脑,纵向平分,一半用10%多聚甲醛固定24 h。取含海马结构的两块相邻组织约3 mm,制作石蜡标本,以5  $\mu$ m厚冠状连续切片,取相邻的三套切片,分别行苏木精-伊红染色、免疫组化和原位细胞凋亡的检测。

### 1.5 免疫组织化学染色

按试剂盒说明书进行,一抗NF- $\kappa$ Bp65浓度为1:50,以PBS代替一抗作阴性对照。以胞核出现棕黄色颗粒为阳性染色。每张切片分别在海马CA1区随机观察3个不连续的视野(400 $\times$ )计数,取其平均值作为该只动物的NF- $\kappa$ Bp65核移位阳性细胞数。

### 1.6 TUNEL法检测细胞凋亡

按试剂盒说明书进行,主要过程包括:(1)H<sub>2</sub>O<sub>2</sub>

室温孵育;(2)蛋白酶K消化;(3)TdT反应液37℃孵育90 min;(4)DAB显色。实验设立不加TdT的阴性对照。以胞核出现棕黄色颗粒为阳性细胞。同上计算阳性细胞数。

### 1.7 流式细胞仪测细胞凋亡

冰上取另一半海马,匀浆,PBS漂洗2次(1 200 r/min,10 min/次),过滤后制成海马单细胞悬液。乙醇固定4℃过夜,PBS漂洗2次,调整细胞数在1×10<sup>6</sup>/mL,加入碘化丙啶染液,4℃染色30 min上机分析。得出凋亡细胞百分率。

### 1.8 统计学处理

所有数据以( $\bar{x} \pm s$ )表示,采用SPSS11.5统计软件进行单因素方差分析(ANOVA),多样本中两组间均数比较用q检验。

## 2 结果

### 2.1 苏木精-伊红染色

对照组海马锥体细胞排列紧密,细胞呈圆形或椭圆形,染色质在核内分布均匀,核仁清晰(图1A);致惊组海马CA1区锥体细胞排列逐渐散乱,继之出现特征性凋亡改变如核固缩浓染、染色质浓集边集、细胞变小、细胞外出现空晕等,24 h达高峰(图1B);PDTC治疗组受损神经元数目明显减少,偶见固缩细胞(图1C)。

### 2.2 免疫组化

在对照组海马CA1区中可见少量NF- $\kappa$ Bp65蛋白表达,主要分布在胞浆,着色较浅淡(图2A)。致惊后6 h NF- $\kappa$ Bp65核移位阳性细胞较正常组有增加趋势;12 h明显多于正常组和3 h组;24 h增加达高峰(图2B);48 h较24 h明显减少。治疗组NF- $\kappa$ Bp65的阳性细胞较致惊24 h组明显降低(图2C)。各时间点NF- $\kappa$ Bp65核移位阳性细胞数见表1。

表1 各实验组海马CA1区NF- $\kappa$ Bp65核移位细胞及凋亡细胞计数( $n = 6, \bar{x} \pm s$ )

组别	NF- $\kappa$ Bp65	TUNEL	FCM
对照	0	3.35 ± 0.89	2.24 ± 0.57
致惊后3 h	0	8.38 ± 0.71	3.19 ± 0.94
致惊后6 h	2.00 ± 1.15	20.63 ± 4.71 <sup>a</sup>	4.86 ± 1.93
致惊后12 h	14.27 ± 3.79 <sup>a</sup>	37.87 ± 6.31 <sup>b</sup>	6.95 ± 2.11 <sup>a</sup>
致惊后24 h	32.30 ± 4.71 <sup>b</sup>	61.62 ± 4.99 <sup>b</sup>	12.54 ± 4.99 <sup>b</sup>
致惊后48 h	19.27 ± 2.41 <sup>a</sup>	22.17 ± 3.96 <sup>a</sup>	6.07 ± 3.63
PDTC + PTZ	10.58 ± 1.82 <sup>ac</sup>	14.52 ± 3.97 <sup>ac</sup>	3.33 ± 0.78 <sup>c</sup>

与对照组相比a  $P < 0.05$ , b  $P < 0.01$ , c与致惊24 h组比较  $P < 0.05$

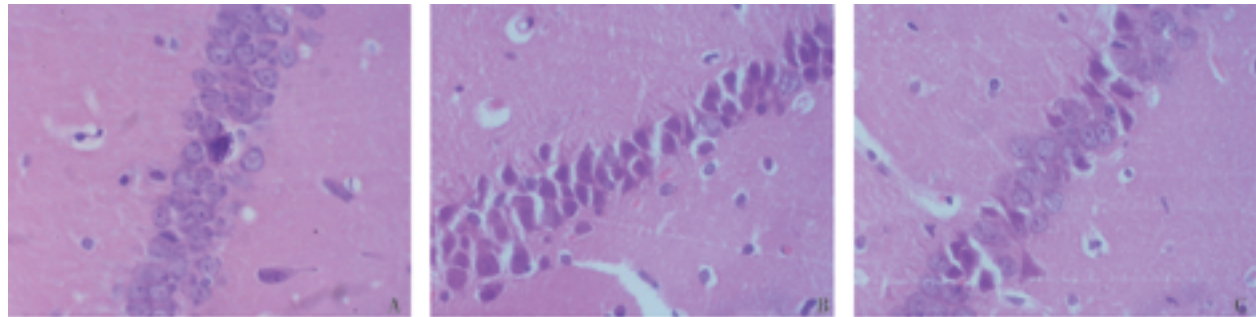


图1 海马 CA1 区细胞形态(苏木精-伊红  $\times 400$ ) A:对照组;B:致惊后 24 h 组;C:PDTC 治疗组。

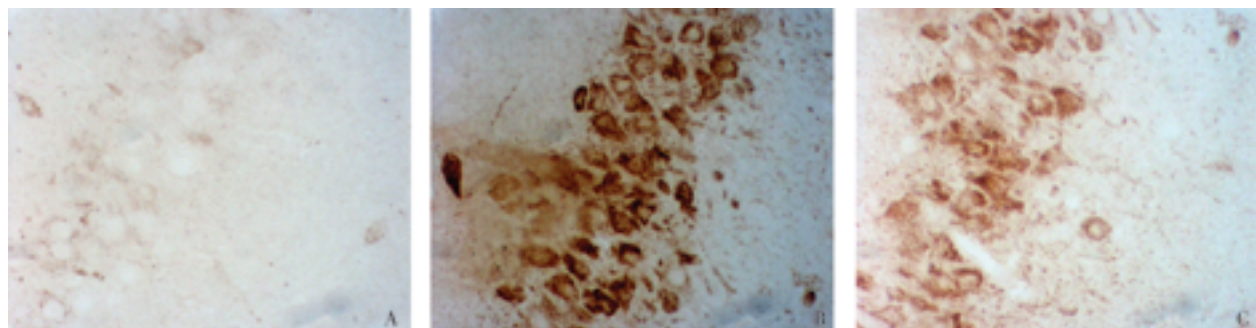


图2 海马 CA1 区 NF-κB p65 核移位 (p65  $\times 400$ ) A:对照组;B:致惊后 24 h 组;C:PDTC 治疗组。

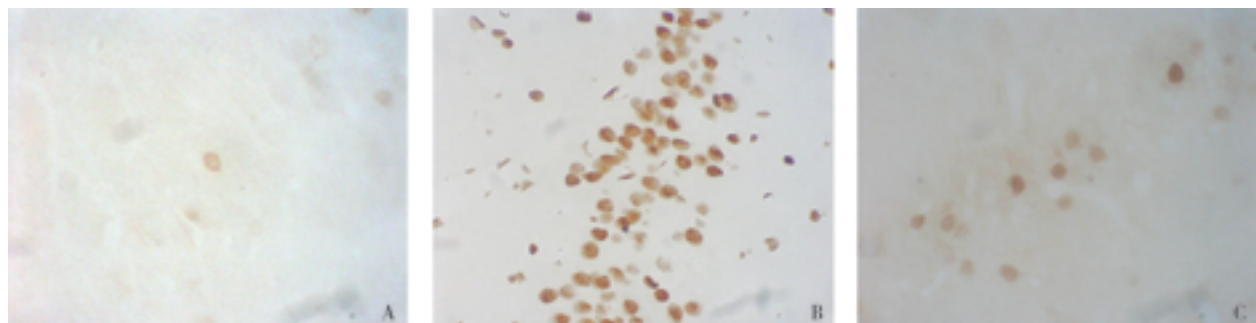


图3 海马 CA1 区细胞凋亡 (TUNEL  $\times 400$ ) A:对照组;B:致惊后 24 h 组;C:PDTC 治疗组。

### 2.3 TUNEL 检测

对照组及致惊后 3 h 组均少见阳性结果(图 3A)。惊厥发作后 6 h 海马 CA1 区可见少数锥体细胞凋亡,核固缩,被染成棕黄色。12 h 凋亡的锥体细胞数明显增多,至 24 h 达高峰(图 3B),此后开始下降。治疗组与致惊 24 h 组相比凋亡细胞明显减少(图 3C)。各组海马 CA1 区细胞凋亡数据见表 1。

### 2.4 流式细胞仪检测

惊厥后 24 h 海马含亚 G1 期细胞最高达 14.04% (计数 10 000 个细胞),而对照组及致惊 3 h 组亚 G1 期细胞分别占 1.29% 和 3.04%。惊厥后 24 h 组与对照组凋亡细胞数量比较差异 3.70%。各组海马细胞凋亡数据见表 1。

### 3 讨论

目前惊厥发生后神经元凋亡的发生机制尚不明确,有研究显示是与凋亡相关的各种蛋白异常表达有关,如热休克蛋白、激活蛋白 1 (activating protein 1, AP-1)、NF-κB 等,其中 NF-κB 是目前倍受关注的与细胞凋亡关系密切的蛋白之一。NF-κB 是一类与转录活性有关的蛋白质家族。其中起主要作用的是 P65/P50 异源二聚体,在胞浆中 P65/P50 因与抑制蛋白 I<sub>K</sub>B (inhibitory protein kappaB) 结合而失活。当细胞受到内外刺激时如炎症、电信号等,I<sub>K</sub>B 被上游激酶所降解,NF-κB 被激活并转入核内,与特定的 DNA 序列结合发挥对靶基因调节而起到相应作用。

本研究发现,在严重惊厥发作过程中存在细胞

凋亡。免疫组化显示在惊厥发作过程中 NF- $\kappa$ B p65 表达显著上调,随着核内 p65 的表达升高,同时可见胞浆内 p65 的免疫反应也明显增强,提示在 NF- $\kappa$ B 核转移之前激活形的 NF- $\kappa$ B 首先释放出来,源源不断地等待进入核内。本实验 NF- $\kappa$ Bp65 表达的结果与 Rong<sup>[5]</sup>等红藻氨酸(KA)致大鼠点燃模型的结果相似,但后者 NF- $\kappa$ B 表达高峰在致惊后 8~16 h,而我们实验结果 NF- $\kappa$ Bp65 表达高峰在 24 h,可能与致惊剂不同有关。

本实验还发现 PTZ 致惊后大鼠海马 CA1 区 NF- $\kappa$ Bp65 蛋白表达出现的最早时间和高峰时间细胞凋亡反应的时序相吻合,阳性反应区域相同,说明 NF- $\kappa$ Bp65 蛋白表达与神经细胞凋亡密切相关。Matsuoka<sup>[6]</sup>和 Crespel 等<sup>[7]</sup>研究也发现在 KA 致惊厥模型及颞叶癫痫病理检测中,NF- $\kappa$ B 介导了海马神经元的凋亡。Levites<sup>[8]</sup>和 Won 等<sup>[9]</sup>通过事先给予绿茶提取物和地塞米松抑制 NF- $\kappa$ B 表达而显著减少神经细胞凋亡,说明 NF- $\kappa$ B 介导了惊厥发生后的神经细胞凋亡。PDTC 是一种 NF- $\kappa$ B 抑制剂,一方面作为一种抗氧化剂,通过降低脂质过氧化物酶活性,减少 I $\kappa$ B 降解,抑制 NF- $\kappa$ B 的活化;另一方面 PDTC 是一种金属螯合物,能够与巯基结合,影响 NF- $\kappa$ B 的结合活性,从而降低 NF- $\kappa$ B 的蛋白表达和活化<sup>[10]</sup>。本实验中我们在大鼠惊厥发作前注射 PDTC,大鼠的惊厥发作潜伏期明显延长,同时神经细胞凋亡的数目亦明显减少,说明 NF- $\kappa$ B 蛋白表达的确诱导了神经细胞的凋亡。目前对于 NF- $\kappa$ B 过多表达所引起的神经细胞凋亡机制尚不完全清楚,结合其他研究结果推测,PTZ 注射大鼠后,机体受刺激后使胞内酪氨酸蛋白激酶激活,进而使 I $\kappa$ B 磷酸化而降解, NF- $\kappa$ B 由非活性状态转变为激活状态,转移入核,这些亚基以二聚体活性形式结合到一些凋亡活跃基因(如 Fas、c-fos、c-myc 等)的调控区,促使其高表达,产生相应蛋白,发挥相应生物学效应,最后导致细胞凋亡的形成。PDTC 可以通过抑制 NF- $\kappa$ B 蛋白表达和活化而增加海马锥体神经元的存活

率而起到神经保护作用。

综上所述,我们认为严重惊厥发作过程存在神经细胞的凋亡,NF- $\kappa$ B p65 参与其中,这为临幊上早期进行抗癫痫药物治疗提供了实验依据,同时提示某些过氧化物酶抑制剂在癫痫治疗过程中具有辅助作用。

## [参考文献]

- [1] Mattson MP, Culmsee C, Yu Z, Camandola S. Roles of nuclear factor kappaB in neuronal survival and plasticity [J]. *J Neurochem*, 2000, 74(2): 443-456.
- [2] 彭涛, 汪薇, 余小河, 王霞, 杨于嘉. 地塞米松预处理对新生大鼠缺氧缺血后脑内 NF- $\kappa$ B 活性及神经细胞凋亡的影响 [J]. 中国当代儿科杂志, 2004, 6(4): 251-255.
- [3] Del Rio MJ, Velez-Pardo C. Monoamine neurotoxins-induced apoptosis in lymphocytes by a common oxidative stress mechanism: involvement of hydrogen peroxide ( $H_2O_2$ ), caspase-3, and nuclear factor kappa-B (NF- $\kappa$ B), p53, c-Jun transcription factors [J]. *Biochem Pharmacol*, 2002, 63(4): 677-688.
- [4] Ono J, Vieth RF, Walson PD. Electrocorticographical observation of seizures induced by pentylenetetrazol (PTZ) injection in rats [J]. *Funct Neurol*, 1990, 5(4): 345-352.
- [5] Rong Y, Baudry M. Seizure activity results in a rapid induction of nuclear factor-kappa B in adult but not juvenile rat limbic structures [J]. *J Neurochem*, 1996, 67(2): 662-668.
- [6] Matsuoka Y, Kitamura Y, Okazaki M, Terai K, Taniguchi T. Kainic acid-induced activation of nuclear factor-kappaB in rat hippocampus [J]. *Exp Brain Res*, 1999, 124(2): 215-222.
- [7] Crespel A, Coubes P, Rousset MC, Brana C, Rougier A, Rondouin G, et al. Inflammatory reactions in human medial temporal lobe epilepsy with hippocampal sclerosis [J]. *Brain Res*, 2002, 952(2): 159-169.
- [8] Levites Y, Youdim MB, Maor G, Mandel S. Attenuation of 6-hydroxydopamine (6-OHDA)-induced nuclear factor-kappaB (NF- $\kappa$ B) activation and cell death by tea extracts in neuronal cultures [J]. *Biochem Pharmacol*, 2002, 63(1): 21-29.
- [9] Won SJ, Ko HW, Kim EY, Park EC, Huh K, Jung NP, et al. Nuclear factor kappa B-mediated kainate neurotoxicity in the rat and hamster hippocampus [J]. *Neuroscience*, 1999, 94(1): 83-91.
- [10] Nurmi A, Lindsberg PJ, Koistinaho M, Zhang W, Juettler E, Karjalainen-Lindsberg ML, et al. Nuclear factor-kappaB contributes to infarction after permanent focal ischemia [J]. *Stroke*, 2004, 35(4): 987-991.

(本文编辑:王霞)